



پیش‌بینی مهم‌ترین خصوصیت ژئومکانیکی توده سنگ با استفاده از روش‌های الگوریتم جستجوی هارمونی و الگوریتم

مبتنی بر آموزش و یادگیری*

مقاله پژوهشی

DOI: 10.22067/jfeci.2022.72095.1056

حسین قانلی^۳

فرشاد ملک محمودی^۲

هادی فتاحی^۱

چکیده به علت وجود مشکلات در ارزیابی تغییر شکل توده‌سنگ‌های درزه‌دار در مقیاس آزمایشگاهی، می‌توان برای در نظر گرفتن اثر مقیاس و درزه‌ها از روش‌های مختلف آزمایش برجا مانند آزمایش بارگذاری صفحه‌ای و دیلاتومتري استفاده کرد. اگر چه این روش‌ها در حال حاضر بهترین هستند، اما گران، زمان‌بر و دارای مشکلات عملیاتی در حین اجرا هستند. بنابراین در این مقاله برای غلبه بر این مشکلات، از الگوریتم‌های جدید جستجوی هارمونی (HS) و الگوریتم بهینه‌سازی مبتنی بر آموزش و یادگیری (TLBO) برای تخمین غیرمستقیم مدول تغییرشکل‌پذیری توده سنگ استفاده شده است. در این مدل‌ها از امتیاز رده‌بندی توده سنگ (RMR)، مقاومت فشاری تک‌محوره سنگ بکر (UCS)، عمق (D) و مدول الاستیسیته سنگ بکر (Ei) به عنوان پارامترهای ورودی و از مدول تغییرشکل‌پذیری توده سنگ (Em) به عنوان پارامتر خروجی استفاده شده است. در این مقاله، با استفاده از شاخص‌های آماری مختلف، مدل ایجادشده توسط الگوریتم‌ها، ارزیابی و اعتبارسنجی می‌شود. نتایج ارزیابی نشان داد که دقت رابطه برای الگوریتم جستجوی هارمونی با استفاده از شاخص‌های R^2 و VAF حدود ۰/۹۱-۰/۹۳ و درصد خطا با استفاده از شاخص‌های RMSE و MSE بین ۰/۰۰۰۰۱۷-۰/۰۰۰۰۴۲ است هم‌چنین دقت رابطه برای الگوریتم بهینه‌سازی مبتنی بر آموزش و یادگیری با استفاده از روش R^2 و VAF حدود ۰/۹۲-۰/۹۵ و درصد خطا با استفاده از شاخص‌های RMSE و MSE بین ۰/۰۰۰۰۱۰-۰/۰۰۰۰۳۲ به دست آمد.

واژه‌های کلیدی مدول تغییرشکل‌پذیری، الگوریتم جستجوی هارمونی، الگوریتم بهینه‌سازی مبتنی بر آموزش و یادگیری، توده سنگ.

Predicting the Most Important Geomechanical Parameter of Rock Mass Using the Harmony Search and Teaching Learning Based Optimization Algorithms

Hadi Fattahi

Farshad Malekmahmoudi

Hossin Ghaedi

Abstract Due to the difficulties in assessing the deformation of jointed aggregates at the laboratory scale, various in situ testing methods such as plate loading test and dilatometry can be used to consider the effect of scale and joints. Although these methods are currently the best, they are expensive, time consuming, and have operational difficulties during implementation. Therefore, in this paper, to overcome these problems, new harmony search algorithms (HS) and teaching-learning optimization algorithm (TLBO) are used to indirectly estimate the modulus of rock mass deformation. In these models, the rock mass classification score (RMR), uniaxial compressive strength of virgin rock (UCS), depth (D) and the modulus of elasticity of intact rock (Ei) as input parameters and the modulus of rock mass deformability (Em) as output parameter Used. In this paper, Using different statistical indicators, the model created by the algorithms is evaluated and validated. The evaluation results showed that the relationship accuracy for the harmonic search algorithm using R^2 and VAF methods is about 0.91-0.93 and using the RMSE and MSE methods is between 0.000017-0.0042. Also, the relationship accuracy for the optimization algorithm Based on teaching and learning using R^2 and VAF methods, about 0.92-0.95 and using RMSE and MSE methods were between 0.00001-0.0032.

Key Words Deformation of modulus, harmony search algorithm, teaching-learning optimization algorithm, rock mass.

* تاریخ دریافت مقاله ۱۴۰۰/۶/۲ و تاریخ پذیرش آن ۱۴۰۱/۳/۲۴ می‌باشد.

Email: h.fattahi@arakut.ac.ir

(۱) نویسنده مسئول، دانشیار، دانشکده‌ی مهندسی علوم زمین، دانشگاه صنعتی اراک.

(۲) دانشجوی کارشناسی، دانشکده‌ی مهندسی علوم زمین، دانشگاه صنعتی اراک.

(۳) دانشجوی کارشناسی ارشد، دانشکده‌ی مهندسی علوم زمین، دانشگاه صنعتی اراک.

مقدمه

پارامتر مدول تغییر شکل‌پذیری توده سنگ (به‌عنوان مهم‌ترین خصوصیت ژئومکانیکی) نشان‌دهنده میزان تغییر شکل توده‌سنگ در پاسخ به هر گونه بارگذاری یا باربرداری می‌باشد. تعیین پارامتر تغییر شکل‌پذیری توده‌سنگ در بسیاری از پروژه‌ها حیاتی و ضروری است. این پارامتر در طراحی پروژه‌هایی که حتی نسبت به تغییر شکل‌های کم نیز حساس هستند اهمیت زیادی دارد. امروزه با توجه به اهمیت پارامتر مدول تغییر شکل‌پذیری در توصیف رفتار مکانیکی توده‌سنگ تحت فشار، از این پارامتر به‌عنوان پارامتر ورودی در اکثر آنالیزهای عددی المان محدود و المان مرزی، به‌منظور مطالعه توزیع تنش و جابه‌جایی در اطراف حفریات زیرزمینی استفاده می‌شود. استفاده از آزمون‌های برجا برای تعیین مدول تغییر شکل‌پذیری هم مستلزم صرف هزینه‌های گزاف و هم صرف وقت و دقت زیادی می‌باشد. به همین دلیل استفاده از روش‌های غیرمستقیم در دستور کار محققان برای تخمین این پارامتر مهم قرار گرفته‌است. یکی از روش‌های غیرمستقیم تخمین مدول تغییر شکل‌پذیری توده سنگ، استفاده از روابط تجربی و طبقه‌بندی مهندسی سنگ‌هاست. این روابط بر مبنای پارامترهای ژئومکانیکی و سیستم‌های مختلف طبقه‌بندی توده‌سنگ از قبیل طبقه‌بندی ژئومکانیکی توده‌سنگ RMR، شاخص مقاومت زمین‌شناسی GSI، شاخص کیفی سنگ RQD و سیستم طبقه‌بندی Q بنا نهاده شده‌اند که در ادامه به برخی از مهم‌ترین آنها اشاره می‌شود.

بنیادیسی [1] برای اولین بار جزئیات طبقه‌بندی از توده‌های سنگی را با نام طبقه‌بندی ژئومکانیکی یا سیستم امتیازدهی به توده‌سنگ RMR منتشر کرد. سپس پریرا و لاجینا [2] سرافیم مدول تغییر شکل‌پذیری را براساس سیستم RMR ارائه کردند:

$$E_m = 2RMR - 100 \quad RMR > 55 \quad (1)$$

$$E_m = 10^{(RMR-10)/40} \quad RMR < 55 \quad (2)$$

ورمن و همکاران [3] به‌منظور تأثیر عمق تونل روی مدول تغییر شکل‌پذیری توده سنگ از سیستم طبقه‌بندی ژئومکانیکی

توده سنگ (RMR) و ارتفاع روباره (H) استفاده کردند و آن را در یک رابطه تجربی ارائه کردند:

$$E_m = 10^{(RMR-20)/38} \text{ GPa} \quad (3)$$

بنیادیسی و نیکلسون [4] مدول تغییر شکل‌پذیری را با استفاده از مدول الاستیسیته سنگ بکر (E_i) و سیستم طبقه‌بندی ژئومکانیکی توده سنگ (RMR) پیشنهاد کردند:

$$E_m = \frac{E_i}{100} \left(0.0028RMR^2 + 0.9e^{\frac{RMR}{22.83}} \right) \quad (4)$$

در رابطه‌ای دیگر مهرتورا [5]، با استفاده از آزمایش‌های جک تک‌محوری برای توده سنگ خشک و سنگ‌های ضعیف مدول تغییر شکل‌پذیری را مبتنی بر سیستم طبقه‌بندی ژئومکانیکی توده سنگ (RMR) پیشنهاد کرد:

$$E_m = 0.3H^\alpha \times 10^{(RMR-20)/38} \quad 0.16 < \alpha < 0.3 \quad (5)$$

کایسر و دیدرکس [6] رابطه زیر را برای پیش‌بینی مدول تغییر شکل‌پذیری مبتنی بر سیستم طبقه‌بندی ژئومکانیکی توده سنگ (RMR) به‌دست آوردند:

$$E_m = 7(\pm 3)\sqrt{Q'} \quad (6)$$

$$Q' = 10((RMR - 44)/21)$$

در رابطه‌ای دیگر رید و همکاران [7] مدول تغییر شکل‌پذیری مبتنی بر سیستم طبقه‌بندی ژئومکانیکی توده سنگ (RMR) را تخمین زدند.

$$E_m = 0.1(RMR/10)^3 \quad (7)$$

هم‌چنین کیم [8] رابطه زیر را برای پیش‌بینی مدول تغییر شکل‌پذیری مبتنی بر سیستم طبقه‌بندی ژئومکانیکی توده سنگ (RMR) ارائه کردند:

$$E_m = 300 \exp(0.07RMR) \times 10^{-3} \quad (8)$$

هم‌چنین میتری و همکاران [9] رابطه‌ای برای پیش‌بینی مدول تغییر شکل‌پذیری مبتنی بر مدول یانگ سنگ بکر (E_i) و طبقه‌بندی ژئومکانیکی توده سنگ (RMR) به‌دست آوردند:

$$E_m = 0.5E_i [1 - \cos(\pi(RMR/100))] \quad (9)$$

بارتن و گریمستاد [10] فرمول تجربی جدیدی برای پیش‌بینی مدول تغییر شکل‌پذیری بر اساس سیستم طبقه‌بندی Q به‌دست آوردند:

$$\frac{E_m}{E_r} = 0.2 \times 10^{0.0186 RQD - 1.91} \quad (17)$$

$$\frac{E_m}{E_r} = 1.8 \times 10^{0.0186 RQD - 1.91} \quad (18)$$

$$\frac{E_m}{E_r} = 10^{0.0186 RQD - 1.91} \quad (19)$$

دیبر و همکاران [16] بر اساس اطلاعات داده‌های برجای سد دورشاک که از شاخص کیفی توده سنگ (RQD) استفاده می‌شود مطابق رابطه زیر به تعیین مدول تغییرشکل پذیری توده سنگ پرداختند.

$$E_m/E_r = 0.0231 RQD - 1.32 \quad (20)$$

جوزه و همکارانش [17] بر اساس سیستم طبقه‌بندی (RMR) و مدول تغییرشکل پذیری سنگ بکر (E_i) با توجه به مطالعات موردی به همبستگی بالایی بین RMR و نسبت مدول تغییرشکل پذیری توده سنگ رسیدند.

سونمز و همکاران [18] برای تخمین مدول تغییرشکل پذیری توده سنگ، از سیستم شاخص مقاومت زمین‌شناسی (GSI)، مقاومت فشاری تک‌محوره سنگ بکر (UCS) و مدول الاستیسیته سنگ بکر (E_i) که از مجموع ۱۱۵ داده آزمایش برجا دیلاتومتری و بارگذاری صفحه‌ای که از ساختگاه دو سد و نیروگاه در ترکیه گرفته شده بود، استفاده کردند. آنها توانستند با استفاده از رابطه تجربی زیر مدول تغییرشکل پذیری توده سنگ را تخمین بزنند:

$$E_m = E_i (S^\alpha)^{0.4} \quad (21)$$

$$s = \exp\left(\frac{GSI - 100}{9 - 3D}\right) = 0.5 + \frac{1}{6} \left(e^{-GSI/15} - e^{-20/3}\right) \quad (22)$$

گاردنر [19] مدول تغییرشکل پذیری را مبتنی بر شاخص کیفی توده سنگ (RQD) و مدول یانگ سنگ بکر (E_i) پیشنهاد کردند:

$$E_m = \alpha_E E_i \quad (23)$$

$$\alpha_E = 0.0231 RQD - 1.23$$

انیشتن و ژانگ [20] رابطه زیر را برای پیش‌بینی مدول تغییرشکل پذیری مبتنی بر مدول یانگ سنگ بکر (E_i) و شاخص کیفی توده سنگ (RQD) ارائه دادند:

$$E_m = 25 \log_{10} Q \quad Q > 30$$

$$E_m = 8Q^{0.4} \quad 1 < Q < 30 \quad (10)$$

هم‌چنین بارتن [11] رابطه‌ای را برای پیش‌بینی مدول تغییرشکل پذیری مبتنی بر سیستم طبقه‌بندی Q و مقاومت فشاری تک‌محوره (UCS) به دست آوردند:

$$E_m = 10Q_c^{1/3} \quad Q_c = Q \times \frac{UCS}{100} \quad (11)$$

هوک و براون [12] رابطه زیر را برای پیش‌بینی E_m بر اساس شاخص مقاومت زمین‌شناسی (GSI) و مقاومت فشاری تک‌محوره سنگ بکر (UCS) پیشنهاد کردند:

$$E_m = \sqrt{\frac{UCS}{100}} \times 10^{\left(\frac{GSI-10}{40}\right)} \quad (12)$$

هم‌چنین، هوک و همکاران [13] روابط تجربی زیر را برای پیش‌بینی مدول تغییرشکل پذیری مبتنی بر شاخص کیفی توده سنگ (RQD) و عامل اختلال (D1) پیشنهاد کردند:

$$E_m = \left(1 - \frac{D1}{2}\right) \sqrt{\frac{UCS}{100}} \times 10^{\left(\frac{GSI-10}{40}\right)} \quad (13)$$

$$UCS \leq 100 \text{ (MPa)}$$

$$E_m = \left(1 - \frac{D1}{2}\right) \times 10^{\left(\frac{GSI-10}{40}\right)} \quad (14)$$

$$UCS \geq 100 \text{ (MPa)}$$

هوک و دیدرکس [14] با استفاده از داده‌های چین و تایوان با انجام چندین آزمایش برجا، فرمول‌های زیر را برای پیش‌بینی مدول تغییرشکل پذیری مبتنی بر شاخص کیفی توده سنگ (RQD) و عامل اختلال (D1) تخمین زدند:

$$E_m = 100000 \left(\frac{1 - D1/2}{1 + e^{((75+25D-GSI)/11)}} \right) \quad (15)$$

$$E_m = E_i \left(0.02 + \frac{1 - D1/2}{1 + e^{((60+15D1-GSI)/11)}} \right) \quad (16)$$

ژانگ و انیشتن [15] در تحقیقی با استفاده از شاخص کیفی توده سنگ (RQD) و مدول تغییر شکل پذیری سنگ بکر (E_i) با استفاده از یک سری آنالیزهای رگرسیونی مطابق روابط زیر به تعیین مدول تغییرشکل پذیری توده سنگ پرداختند.

$$E_m = 0.0876RMR, \quad RMR \leq 50 \quad (31)$$

$$E_m = 0.0867RMR + 1.056(RMR - 50)^2 \quad (32)$$

$$RMR > 50$$

چان و همکاران [25] رابطه زیر را برای پیش‌بینی مدول تغییرشکل‌پذیری توده سنگ مبتنی بر RMR ارائه کردند.

$$E_m = 1.3326e^{0.0364RMR} \quad (33)$$

نجاتی و همکاران در سال ۲۰۱۴، چون و همکاران در سال ۲۰۰۸ [25, 26] نیز از سیستم طبقه‌بندی ژئومکانیکی توده سنگ (RMR) برای پیش‌بینی مدول تغییرشکل‌پذیری توده سنگ استفاده کردند و توانستند یک پیش‌بینی با دقتی مطلوب ارائه کنند.

گرچه روابط بالا برای تخمین غیرمستقیم مدول تغییرشکل‌پذیری روشی ساده و کم‌هزینه است ولی این‌گونه روابط از درجه اعتماد کمی برخوردار هستند زیرا هم به‌صورت تئوری و هم بر مبنای شرایط ایده‌آل به‌دست می‌آیند. اگرچه تلاش‌های قبلی ارزشمند هستند اما به‌دلیل ساختارهای پیچیده در مهندسی سنگ و وجود عدم قطعیت که در ذات سنگ است، استفاده از این روابط در مناطق دیگر با خطا همراه بوده‌است. لذا امروزه با وجود پیشرفت در علم داده‌کاوی در جهت کاهش خطای محاسباتی و همچنین مدل‌سازی رفتار خطی و غیرخطی داده‌ها، از روش‌های توسعه‌یافته هوش محاسباتی استفاده می‌شود. این روش‌ها ابزاری سریع، ارزان و با قابلیت بالا برای حل مسائل مهندسی هستند. با توجه به مطالعات فوق، همان‌طور که مشخص است به‌دلیل چند متغیره بودن پارامترهای ورودی، پیچیدگی در پارامترهای ژئوتکنیکی و همچنین به‌دلیل نزدیک بودن روش‌های هوشمند به واقعیت مسئله، امروزه استفاده از الگوریتم‌ها برای ساخت تابع حالت حدی جایگزین بسیار مناسب برای روش‌های رگرسیونی و روش‌های تجربی هستند به همین دلیل در این مقاله، به‌دلیل افزایش دقت، گسترش روش‌های هوشمند، در نظر گرفتن عدم قطعیت در پارامترهای ورودی، وارد کردن چندین پارامترهای ورودی در رابطه و همچنین قابل کاربرد بودن روابط به‌دست‌آمده در مطالعات موردی مشابه از الگوریتم‌های هوشمند جستجوی هارمونی (HS) و الگوریتم بهینه‌سازی مبتنی بر آموزش و یادگیری (TLBO) برای پیش‌بینی غیرمستقیم مدول تغییرشکل‌پذیری توده سنگ، پیشنهاد شده‌است. در پایان به‌منظور

$$\frac{E_m}{E_i} = 10^{0.0186RQD-1.91} \quad (24)$$

سینگ و پالستروم [21] روابط زیر را برای پیش‌بینی مدول تغییرشکل‌پذیری مبتنی بر سیستم طبقه‌بندی شاخص توده سنگ (RMI) پیشنهاد کردند:

$$E_m = 7RMI^{0.4} \quad 1 < RMI < 30 \quad (25)$$

$$E_m = 5.6RMI^{0.375} \quad 0.1 < RMI$$

گوکچه اوغلو و همکاران [22] با استفاده از اطلاعات ساختگاه دو سد و یک نیروگاه در ترکیه رابطه زیر را برای پیش‌بینی مدول تغییرشکل‌پذیری مبتنی بر شاخص کیفی توده سنگ (RQD)، مقاومت فشاری تک‌محوری سنگ بکر (UCS) و درجه هوازدگی توده سنگ (WD) که مهم‌ترین پارامتر کنترل‌کننده مدول تغییرشکل‌پذیری توده سنگ مورد مطالعه هستند، ارائه دادند:

$$E_m = 0.001 \left[\frac{\left(\frac{E_i}{UCS} \right) \left(1 + \frac{RQD}{100} \right)}{WD} \right]^{1.5528} \quad (26)$$

کیوباسی و همکاران [23] رابطه تجربی زیر را برای پیش‌بینی مدول تغییرشکل‌پذیری مبتنی بر مدول یانگ سنگ بکر (E_i)، درجه هوازدگی توده سنگ (WD) و شاخص کیفی توده سنگ (RQD) ارائه دادند. آنها به این نتیجه رسیدند که رابطه ایجادشده از دقت قابل قبولی برخوردار است:

$$E_m = 0.135 [E_i (1 + RQD/100) / WD]^{1.1811} \quad (27)$$

$$E_m = 0.1423 \left[\frac{E_i \left(1 + \frac{RQD}{100} \right)}{WD} \right]^{1.1747}$$

گالرا و همکاران [24] از روابط زیر برای تخمین مدول تغییرشکل‌پذیری توده سنگ با استفاده از سیستم طبقه‌بندی ژئومکانیکی توده سنگ (RMR) و مدول یانگ سنگ بکر (E_i) استفاده کردند.

$$E_m = 147.28e^{(RMR-100)/24} - 0.202RMR \quad (28)$$

$$E_m = e^{(RMR-10)/18} \quad (29)$$

$$E_m = E_i e^{\frac{(RMR-100)}{36}} \quad (30)$$

مرحله دوم. تولید حافظه هارمونی اولیه به صورت تصادفی. در این مرحله به صورت تصادفی از محدوده مقادیر ممکن مجموعه متغیرهای تصمیم، یک حافظه هارمونی به صورت رابطه زیر تشکیل می شود:

$$HM = \begin{bmatrix} x_1^1 & x_2^1 & \dots & x_N^1 & F(x^1) \\ \vdots & \vdots & \dots & \vdots & \vdots \\ x_1^{HMS-1} & x_2^{HMS-1} & \dots & x_N^{HMS-1} & F(x^{HMS-1}) \\ x_1^{HMS} & x_2^{HMS} & \dots & x_N^{HMS} & F(x^{HMS}) \end{bmatrix} \quad (35)$$

که $F(x^i)$ مقدار تابع هدف به دست آمده با ازای بردار اول و HM ، ماتریس حافظه هارمونی است.

مرحله سوم. اصلاح هارمونی جدید. در این مرحله با استفاده از سه مکانیزم انتخاب تصادفی، بررسی حافظه هارمونی و نرخ تنظیم گام یک هارمونی جدید بصورت $x_i^{new} = (x_1^{new}, x_2^{new}, \dots, x_N^{new})$ تولید می کنند [27, 30, 31]، البته باید متغیرهای تصمیم تولید شده در این مرحله در محدوده مجاز واقع شوند. در انتخاب تصادفی، مقدار هر متغیر تصمیم گیری در برابر هارمونی جدید به طور تصادفی در محدوده مقدار با احتمال $(HMCR-1)$ انتخاب می شود. $HMCR$ که بین ۰ و ۱ متغیر است، میزان انتخاب یک مقدار از مقادیر ذخیره شده در HM است و $(HMCR-1)$ میزان انتخاب تصادفی یک مقدار از محدوده احتمالی مقادیر است [32].

$$x_i' = x_i' \in \{x_i^1, x_i^2, \dots, x_i^{HMS}\} \text{ with } HMCR \quad (36)$$

$$x_i' = x_i' \in x_i \text{ with } (1-HMCR)$$

مطابق با رابطه (۳۶)، به عنوان مثال، اگر $HMCR$ برابر ۰/۸۵ باشد الگوریتم با احتمال ۸۵ درصد بردار جدید را از بین بردارهای مرتب شده در حافظه هارمونی انتخاب می کند و با احتمال ۱۵ درصد بردار جدید به صورت تصادفی در محدوده مجاز انتخاب می کند.

مقدار هر متغیر تصمیم گیری به دست آمده از نظر حافظه برای تعیین این که آیا باید تنظیم شود یا خیر، بررسی می شود. اگر تصمیم تنظیم گام برای x_i' با احتمال PAR انجام شود. x_i' با $x_i' \pm u(-1, +1) \times bw$ جایگزین می شود، جایی که bw یک پهنای باند فاصله دلخواه برای متغیر طراحی پیوسته است و $u(-1, +1)$ یک توزیع یک نواخت بین -۱ و ۱ است. مقدار $(PAR-1)$ میزان عملکرد را تعیین می کند. بنابراین، تنظیم گام به هر متغیر به صورت زیر اعمال می شود:

اعتبارسنجی از یک سری شاخص های آماری برای ارزیابی روابط به دست آمده استفاده شده است. نتایج نشان می دهد روابط به دست آمده از دقت بسیار بالایی برخوردار است.

خلاصه ای از روش های مورد استفاده در این تحقیق

الگوریتم جستجوی هارمونی HS

الگوریتم جستجوی هارمونی در سال ۲۰۰۱ اولین بار توسط گیم و همکاران [27] با بهره گیری از روند ساخت هارمونی مناسب توسط موسیقی دان ها طراحی و ارائه شد که طرح کلی آن برگرفته از رفتار طبیعی و واقعی موسیقی دان ها در ساخت بهترین هارمونی است. هارمونی در موسیقی اصطلاحاً به اجرای نت های متفاوت به صورت هم زمان می گویند که در نهایت تبدیل به آهنگی موزون و زیبا می شود. تلاش برای یافتن این هارمونی و هماهنگی در موسیقی، مانند پیدا کردن حل بهینه در مسائل بهینه سازی است. در سال های اخیر به دلیل محاسبات کم، مفهوم ساده، اجرای ساده، پارامترهای کم و کاربردی بودن برای مسائل بهینه سازی گسسته و پیوسته، الگوریتم جستجوی هارمونی به یکی از پرکاربردترین الگوریتم های بهینه سازی در حل مسائل مختلف تبدیل شده است [28, 29]. این الگوریتم به دلیل الزامات ریاضیاتی کمتری که در مقایسه با سایر روش های فراابتکاری دارد می تواند در حل مسائل مختلف مهندسی از جمله در طراحی سازه های مهندسی سنگ سطحی و زیرزمینی به کار گرفته شود. گام های عمده و اصلی الگوریتم جستجوی هارمونی برای رسیدن به بهترین جواب (بهینه) به صورت زیر می باشد:

مرحله اول. معرفی مسئله بهینه سازی و پارامترهای الگوریتم.

ابتدا مسئله بهینه سازی به صورت رابطه (۳۴) تعریف و مشخص می شود.

$$\text{Minimize } f(x) \text{ subject to} \quad (34)$$

$$x_{iL} \leq x_i \leq x_{iU} \quad (i = 1, 2, \dots, N)$$

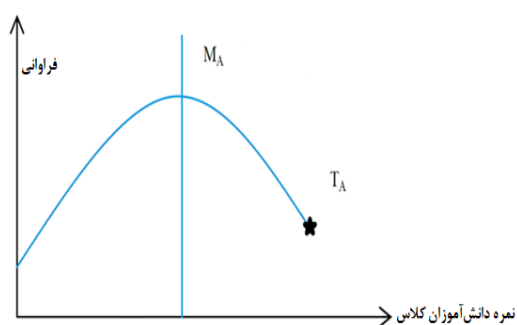
که در آن، x_{iL} و x_{iU} کران بالا و پایین برای متغیرهای تصمیم گیری می باشند. در این گام پارامترهای الگوریتم شامل اندازه حافظه هارمونی (HMS)، سرعت بررسی حافظه هارمونی ($HMCR$)، نرخ تنظیم گام (PAR)، پهنای باند (bw) و ماکزیمم تعداد تکرارها (k) وارد می شوند.

عمومی‌تر و مهندسی در مجله دانش‌های اطلاعاتی معرفی کردند [33].

الگوریتم بهینه‌سازی مبتنی بر آموزش و یادگیری، برخلاف سایر روش‌های فراابتکاری که معمولاً از طبیعت الگو گرفته‌اند، از فرایند یادگیری در کلاس درس الگو گرفته‌است. این الگوریتم، فرایندی را که طی یک کلاس درس برای آموزش (معلم) و یادگیری (دانش‌آموز) رخ می‌دهد مدل می‌کند و از این مدل برای پیدا کردن جواب بهینه کمک می‌گیرد. خروجی الگوریتم در هر مرحله نیز، نمره دانش‌آموزها و سطح دانش آنهاست. در ادامه این الگوریتم در هر گام به‌صورت جزئی‌تر تشریح می‌شود.

تولید جمعیت اولیه

در اولین مرحله این الگوریتم، ابتدا یک سری نقاط تشکیل شده و به‌صورت تصادفی در فضای حل مسئله پخش می‌شوند. این نقاط در حقیقت، همان دانش‌آموزان کلاس درس هستند؛ سپس با توجه به تابع هدف اصلی مسئله و مختصاتی که هر یک از نقاط دارند، مقدار تابع هدف برای هر یک از این نقاط محاسبه می‌شوند این مقادیر تابع هدف در حقیقت نمره دانش‌آموزان کلاس و سطح دانش آنهاست. بدون این که از جامعیت مسئله کم شود، فرض می‌شود توزیع نمره‌ها، توزیع زنگوله‌ای شکل مطابق شکل (۲) می‌باشد.



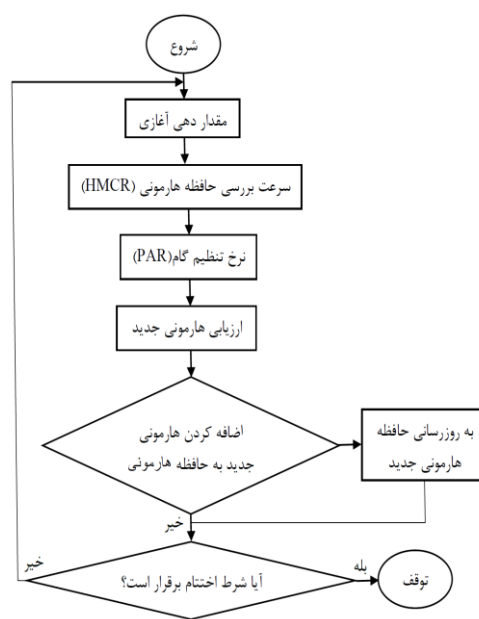
شکل ۲ تولید جمعیت اولیه و انتخاب معلم

همان‌طور که در شکل نشان داده شده‌است. بهترین دانش‌آموز کلاس به‌عنوان معلم در نظر گرفته می‌شود. حال گام آموزش آغاز می‌شود.

$$\begin{aligned} x_i' &= x_i \pm u(-1, +1) \times bw \quad \text{with HMCR} \\ x_i' &= x_i' \quad \text{with HMCR} \times (1 - \text{PAR}) \end{aligned} \quad (37)$$

مرحله ۴. به‌روزرسانی حافظه هارمونی. پس از تولید بردار هارمونی جدید x^{new} ، حافظه هارمونی به‌روزرسانی می‌شود. اگر عملکرد بردار هارمونی جدید $x^{new} = (x_1^{new}, x_2^{new}, \dots, x_N^{new})$ از بدترین هارمونی موجود در حافظه بهتر باشد، به همراه مقدار تابع هدف متناظر، جایگزین آن می‌شود. بدترین هارمونی حافظه، حذف می‌گردد.

مرحله ۵. گام سوم و چهارم آن‌قدر تکرار می‌شود تا شرط توقف (k) را برآورده کند. مطابق با توضیحات بالا، شکل (۱) مراحل الگوریتم جستجوی هارمونی را نشان می‌دهد.



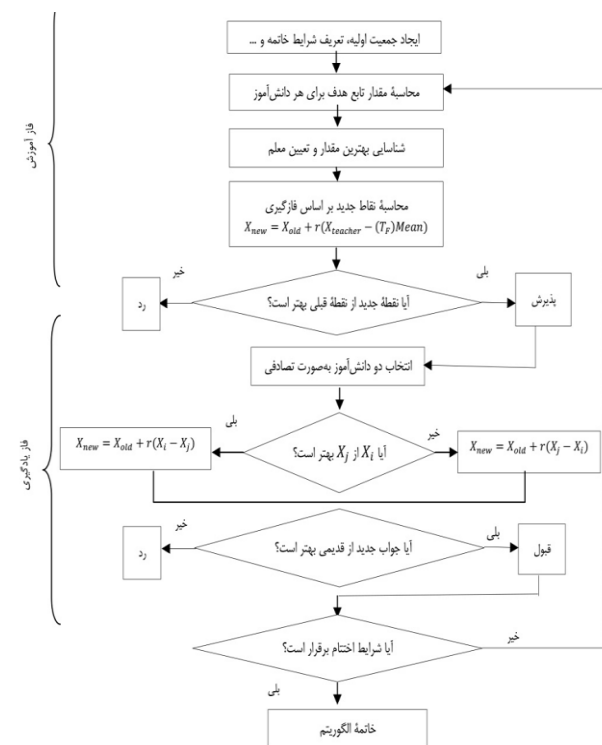
شکل ۱ فلوچارت و الگوریتم بهینه‌سازی جستجوی هارمونی [27]

الگوریتم بهینه‌سازی مبتنی بر آموزش و یادگیری TLBO
الگوریتم بهینه‌سازی مبتنی بر آموزش و یادگیری، در سال ۲۰۱۱ توسط رائو و همکارانش ابتدا در مجله طراحی به کمک کامپیوتر، برای حل مسائل طراحی کامپیوتر مطرح شد، اما حدود یک سال بعد، این محققان الگوریتم بهینه‌سازی مبتنی بر آموزش و یادگیری را در مقیاس گسترده‌تر و برای مسائل

یکدیگر شبیه سازی می شود. به این صورت که، به ازای هر یک از دانش آموزان، یک دانش آموز دیگر به صورت تصادفی انتخاب می شود؛ سپس اگر دانش آموز دوم، از دانش آموز اول وضعیت بهتری از نظر تابع هدف داشته باشد، دانش آموز اول به سمت دانش آموز دوم حرکت می کند و در غیر این صورت، دانش آموز دوم به سمت دانش آموز اول می رود. به الطبع این حرکت نیز برای تنوع سازی الگوریتم، دارای عامل تصادفی است. این گام را می توان برای هر دانش آموز به صورت زیر نشان داد.

$$x_i^{new} = \begin{cases} x_i^{old} - r_i(x_j - x_i) & \text{if } f(x_i) \geq f(x_j) \\ x_i^{old} + r_i(x_j - x_i) & \text{if } f(x_i) < f(x_j) \end{cases} \quad (40)$$

بعد از این مرحله نیز شرایط اختتام الگوریتم بررسی می شود و در صورت برقرار بودن الگوریتم خاتمه می یابد؛ در غیر این صورت، حلقه بار دیگر تکرار می شود. شکل (۴) مراحل الگوریتم بهینه سازی بر پایه آموزش و یادگیری را نشان می دهد.



شکل ۴ فلوجارت الگوریتم بهینه سازی مبتنی بر آموزش و یادگیری [33]

مدل سازی و ارائه نتایج

در این قسمت به منظور مدل سازی برای تخمین مدول تغییر شکل پذیری توده سنگ (Em) با استفاده از یک پایگاه داده

گام آموزش

در این گام نقطه ای که بهترین وضعیت را از نظر تابع هدف دارد، به عنوان معلم در نظر گرفته شده و شروع به آموزش دیگران می کند. مدل سازی این گام به این صورت است که تمام نقاط دیگر که همگی وضعیت بدتری نسبت به معلم دارند، به طرف نقطه معلم حرکت می کنند. با این حرکت، میانگین توزیع به سمت معلم پیش می رود. البته چون در الگوریتم های فراابتکاری، همواره از عامل تصادفی ساز برای بررسی نقاط به صورت تصادفی استفاده می شوند، این حرکت توزیع به سمت معلم نیز، یک عامل تصادفی ساز دارد.

با فرض این که M_i میانگین سطح کلاس و T_i استاد در تکرار ام باشد، پس از آموزش استاد میانگین جدید بهبود می یابد و برابر T_i خواهد شد که با M_{new} نشان داده می شود. بنابراین پاسخ براساس اختلاف بین میانگین موجود و جدید طبق رابطه زیر به روز می شود:

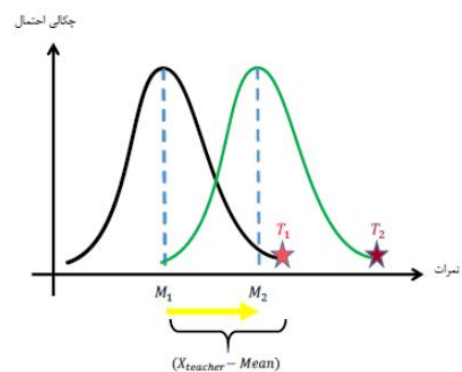
$$\text{Difference} - \text{mean}_i = r_i(M_{new} - T_F M_i) \quad (38)$$

در این رابطه، r_i یک عدد تصادفی در بازه ۰ و ۱ و T_F همان عامل آموزش معلم است. مقدار T_F به صورت تصادفی و با احتمال $T_F = \text{round}[1 + \text{rand}(0,1)\{2-1\}]$ می تواند ۱ یا ۲ باشد. این اختلاف، پاسخ های موجود را براساس رابطه زیر اصلاح می کند:

$$x_{new,i} = x_{old} + \text{Difference} - \text{mean}_i \quad (39)$$

شکل (۳) تغییرات رخ داده در گام آموزش را نشان

می دهد.



شکل ۳ تغییر سطح دانش کلاس در گام آموزش

گام یادگیری

در این گام از الگوریتم، یادگیری دانش آموزان یک کلاس از

$$E_m = (RMR)^{w_1} \times ((w_2 UCS) / w_3) + ((D)^{w_4} / w_5) \times (w_6 \times (E_i)^{w_7}) \quad (41)$$

که در آن w_i عوامل وزن‌دهی متناظر برای پارامترهای ورودی هستند. از این مدل‌ها برای یافتن مقادیر بهینه عوامل وزن‌دهی براساس مجموعه داده‌های آموزش استفاده شده‌است. هدف یافتن مناسب‌ترین مدل برای داده‌ها با حداقل کردن خطا است. تابع عملکرد مدل، $F(v)$ به صورت زیر تعریف می‌شود.

$$F(v) = \sum_{i=1}^m (Y_{mea} - Y_{pre})^2 \quad (42)$$

که در آن Y_{pre} و Y_{mea} به ترتیب مدل و داده‌های آموزش هستند. تعداد مشاهدات (m) نمونه‌ها است.

هر دو الگوریتم HS و TLBO با استفاده از نرم‌افزار MATLAB کدنویسی و اجرا شده‌است. به همین دلیل برای دستیابی به یک راه‌حل قابل قبول و از بین بردن داده‌های پرت، مقادیر عددی پارامترهای ورودی و خروجی باید نرمال شوند. در واقع نرمال کردن داده‌ها تضمین می‌کند که داده‌های خام بازایی شده از پایگاه داده کاملاً برای مدل‌سازی مناسب هستند. داده‌های ورودی و خروجی با استفاده از معادله (۴۳) به مقادیر بین ۰ و ۱ نرمال شده‌اند:

$$X_n = [(X_{mea} - X_{min}) / (X_{max} - X_{min})] \quad (43)$$

[۲۵]، از الگوریتم‌های HS و TLBO استفاده می‌شود. در این پایگاه داده از چهار پارامتر ورودی شامل رده‌بندی توده سنگ (RMR)، مقاومت فشاری تک‌محوره سنگ بکر (UCS)، عمق (D) و مدول الاستیسیته سنگ بکر (E_i) برای تخمین مدول تغییرشکل‌پذیری توده‌سنگ (E_m) استفاده شده‌است. در مدل‌سازی با کمک الگوریتم‌های بهینه‌سازی، تکنیک آموزش و آزمون، یکی از متداول‌ترین روش‌های ایجاد الگوریتم‌های یادگیری برای توسعه روابط پیش‌بینی است. در این روش، داده‌های ورودی به‌طور تصادفی به دو دسته (داده‌های آموزش و آزمون) تقسیم می‌شوند. با استفاده از مجموعه داده‌های آموزش، روابط پیش‌بینی به دست می‌آیند و سپس با استفاده از مجموعه داده‌های آزمون، روابط پیش‌بینی به دست آمده مورد ارزیابی قرار می‌گیرند. در این مطالعه برای تعیین رابطه بین مجموعه متغیرهای ورودی و خروجی از مجموعه داده‌های جمع‌آوری شده از محل ساخت جاده و راه‌آهن در کره توسط آزمایش‌های برجا دیلاتومتر و آزمون فشارسنج استفاده کردند. در مجموع ۶۰ مجموعه داده جمع‌آوری شد که از بین آنها به صورت تصادفی ۸۰ درصد مجموعه داده‌ها (۴۸ داده) برای آموزش و ۲۰ درصد مجموعه داده‌ها (۱۲ داده) برای ارزیابی صحت و دقت مدل‌ها استفاده شده‌است. جدول (۱) برخی از داده‌های ورودی و خروجی در این تحقیق را نشان می‌دهد. در این مطالعه، پیش‌بینی تغییر شکل توده‌سنگ با استفاده از الگوریتم‌های بهینه‌سازی HS و TLBO دو معادله رگرسیونی یکسان غیرخطی به صورت زیر به دست آمده‌است:

جدول ۱ بخشی از داده‌های مورد استفاده در این مطالعه [۲۵]

شماره داده	پارامترهای ورودی مدل‌ها				پارامتر خروجی
	RMR	UCS (MPa)	Depth (m)	E_i (GPa)	E_m (GPa)
۱	۲۱	۲۸/۴	۵	۲۰/۸	۳/۹۲
۲	۳۳	۱۴۸/۹	۸/۵	۵۴/۵	۵/۰۱
۳	۳۰	۱۲/۱	۹/۵	۱۷/۱	۴/۷۶
۴	۶۲	۸۲/۹	۲۰/۴	۴۲/۷	۷/۹۳
۵	۴۲	۱۰۹/۹	۸/۵	۴۹/۱	۵/۳۲
۶	۵۴	۷۰	۱۷/۵	۳۹/۱	۱۱/۰۸
۷	۷۱	۱۱۹/۹	۳۱	۵۰/۸	۱۷/۶۵
۸	۵۹	۲۱۳/۹	۸/۵	۵۹/۶	۱۹/۸۱
۹	۷۶	۲۱۹/۹	۱۷	۵۹/۶	۲۷/۲۶
۱۰	۶۲	۱۵۹/۹	۲۴	۵۵/۵	۱۹/۸۱

اعتبارسنجی مدل

به منظور ارزیابی و تأیید اعتبار روابط به دست آمده توسط الگوریتم های HS و TLBO، چندین شاخص آماری یعنی ضریب همبستگی مربع (R^2)، شمول واریانس (VAF)، جذر میانگین خطای مربع (RMSE) و میانگین خطای مربع (MSE) به عنوان معیار دقت انتخاب شدند. در این معادلات، Y_{mea} و Y_{pre} به ترتیب مقدار اندازه گیری شده و پیش بینی شده مدول تغییر شکل پذیری توده سنگ و n تعداد نمونه ها هستند. در این حالت، هر قدر مقدار RMSE و MSE به صفر نزدیک تر و مقدار R^2 و VAF به عدد ۱ نزدیک تر باشد، مدل پیش بینی شده به عنوان مدل ایده آل پذیرفته می شود. به عبارت دیگر به واقعیت نزدیک تر می شود و خطای آن بسیار کم می باشد. روابط R^2 ، VAF، RMSE و MSE را می توان به ترتیب به صورت زیر تعریف کرد:

$$R^2 = 1 - \frac{\sum_{k=1}^n (Y_{mea} - Y_{pre})^2}{\sum_{k=1}^n Y_{mea}^2 - \frac{(\sum_{i=1}^n Y_{pre}^2)}{n}} \quad (46)$$

$$VAF = \left[1 - \frac{\text{var}(Y_{mea} - Y_{pre})}{\text{var}(Y_{mea})} \right] \quad (47)$$

$$RMSE = \sqrt{\frac{1}{n} \sum_{i=1}^n (Y_{mea} - Y_{pre})^2} \quad (48)$$

$$MSE = \frac{1}{n} \sum_{i=1}^n (Y_{mea} - Y_{pre})^2 \quad (49)$$

که در آن X_{mea} مقدار اصلی داده های خام، X_{min} و X_{max} به ترتیب نشان دهنده حداقل و حداکثر مقادیر داده های خام است. مطابق رابطه (۴۱) معادلات و ضرایب زیر به صورت غیر خطی برای تخمین مدول تغییر شکل پذیری توده سنگ برای دو الگوریتم HS و TLBO به ترتیب به صورت زیر به دست آمده است:

$$E_m = (RMR)^{5.0862} \times ((1.1872D)/3.8985) + ((UCS)^{9.9971}/2.3909) \times (7.6816 \times (E_i)^{-2.0928}) \quad (44)$$

$$E_m = (RMR)^{5.2281} \times ((1.1835D)/3.8361) + ((UCS)^{7.0259}/7.5) \times (12.1516 \times (E_i)^{-1}) \quad (45)$$

لازم به ذکر است که رسیدن به روابط پیش بینی با خطای کم به پارامترهای تنظیم اولیه الگوریتم های بهینه سازی HS و TLBO وابسته است. در این مقاله، این پارامترهای تنظیم (جدول ۲ و ۳) با روش سعی و خطا تعیین شده اند.

جدول ۲ پارامترهای تنظیم شده برای اجرای HS

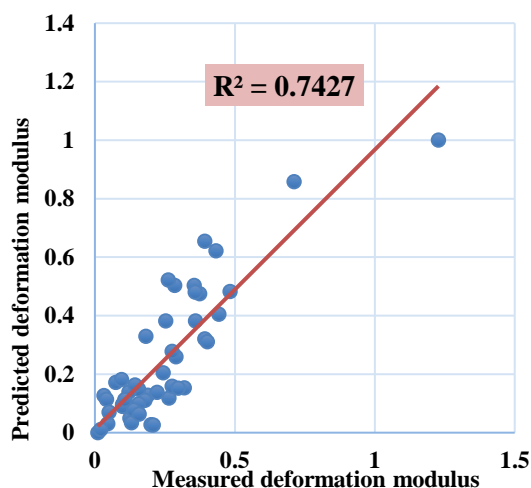
مقدار	پارامترها
۵۰۰۰	ماکزیمم تعداد تکرار
۵۰	اندازه حافظه هارمونی
۶۰	تعداد هارمونی های جدید
۰/۸۵	سرعت بررسی حافظه هارمونی
۰/۰۹	نرخ تنظیم گام
۰/۰۵	پهنای باند

جدول ۳ پارامترهای تنظیم شده برای اجرای TLBO

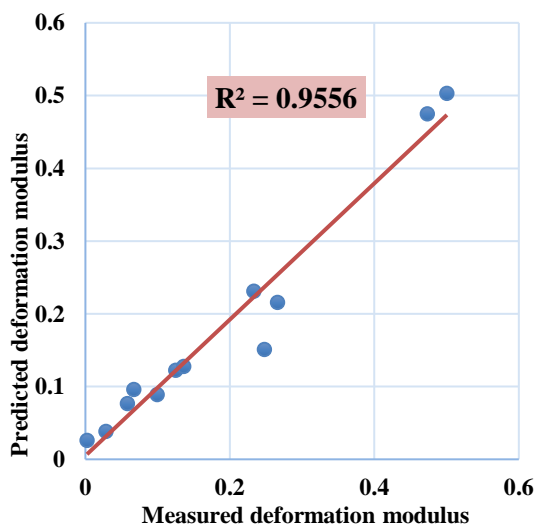
مقدار	پارامترها
۵۰۰۰	ماکزیمم تعداد تکرار
۵۰	اندازه جمعیت

جدول ۴ اعتبارسنجی روابط پیش بینی با استفاده از الگوریتم های بهینه سازی HS و TLBO

MSE	R^2	VAF	RMSE	شرح	نوع الگوریتم
۰/۰۰۱۷۱	۰/۷۶۴۵	۰/۸۱۲۷	۰/۰۴۱۴۵	آموزش	HS
۰/۰۰۰۰۱۷۷	۰/۹۳۷۵	۰/۹۱۷۰	۰/۰۰۴۲۱	آزمون	
۰/۰۰۰۰۵۸۷	۰/۷۴۲۷	۰/۸۲۲۴	۰/۰۲۴۰۲۲	آموزش	TLBO
۰/۰۰۰۰۱۰۲۸	۰/۹۵۵۶	۰/۹۲۴۰	۰/۰۰۳۲۰۷	آزمون	



شکل ۷ همبستگی بین مدول تغییرشکل پذیری اندازه‌گیری شده و پیش‌بینی برای داده‌های آموزش توسط الگوریتم TLBO

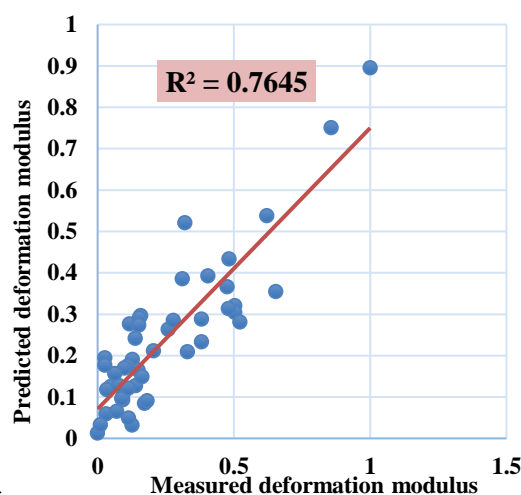


شکل ۸ همبستگی بین مدول تغییرشکل پذیری اندازه‌گیری شده و پیش‌بینی برای داده‌های آزمون توسط الگوریتم TLBO

همان‌طور که از شکل‌ها و نتایج مشخص است مدل ایجاد شده برای پیش‌بینی مدول تغییرشکل‌پذیری توده سنگ به مقدار اندازه‌گیری شده بسیار نزدیک است و نتایج قابل قبولی را نشان می‌دهد. مقایسه بین مقادیر پیش‌بینی شده از مدول تغییر شکل توسط مدل‌های بهینه‌سازی HS و TLBO و مقادیر اندازه‌گیری شده برای ۶۰ داده در مرحله آموزش (۴۸ مجموعه داده) و آزمایش (۱۲ مجموعه داده) در شکل (۹ و ۱۰) نشان داده شده است. مطابق با ارزیابی و صحت‌سنجی روابط و

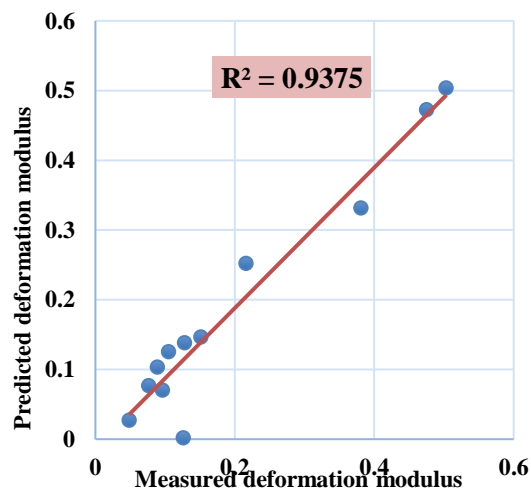
مقادیر شاخص‌های عملکرد برای روابط پیش‌بینی به‌دست آمده (روابط ۴۴ و ۴۵) از الگوریتم‌های بهینه‌سازی HS و TLBO در دو حالت آموزش و آزمون در جدول (۴) نشان داده شده است.

در ادامه شکل (۵-۸) رابطه بین مقادیر اندازه‌گیری شده و پیش‌بینی شده را در دو حالت آموزش و آزمون توسط الگوریتم‌های HS و TLBO با توجه با معادلات غیرخطی (۴۴) و (۴۵) را نشان می‌دهد.



شکل ۵

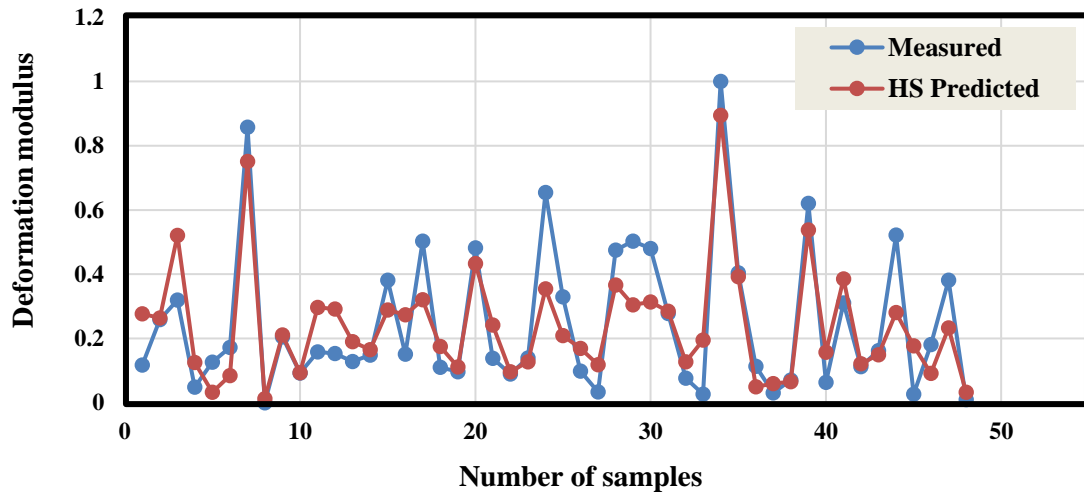
همبستگی بین مدول تغییرشکل‌پذیری اندازه‌گیری شده و پیش‌بینی برای داده‌های آموزش توسط الگوریتم HS



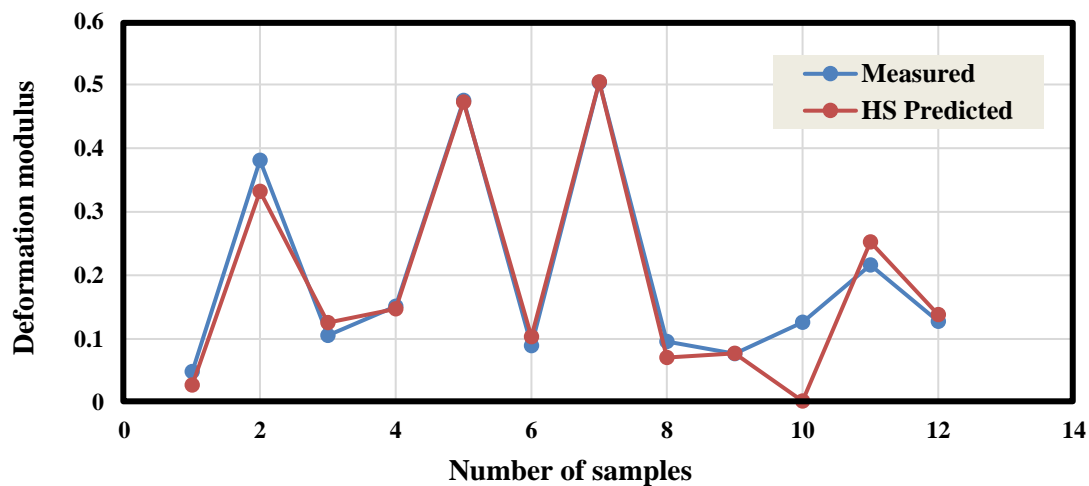
شکل ۶ همبستگی بین مدول تغییرشکل‌پذیری اندازه‌گیری شده و پیش‌بینی برای داده‌های آزمون توسط الگوریتم HS

روابط تنها با جایگزین کردن مقادیر پارامترها، مدول تغییرشکل‌پذیری توده سنگ با دقت بالایی تخمین زده می‌شود.

هم‌چنین خروجی نتایج شکل‌های (۹ و ۱۰) به دلیل نزدیک بودن مقدار واقعی با مقدار پیش‌بینی‌شده روابط ایجاد شده توسط دو الگوریتم از دقت بالایی برخوردار است. بنابراین با داشتن این



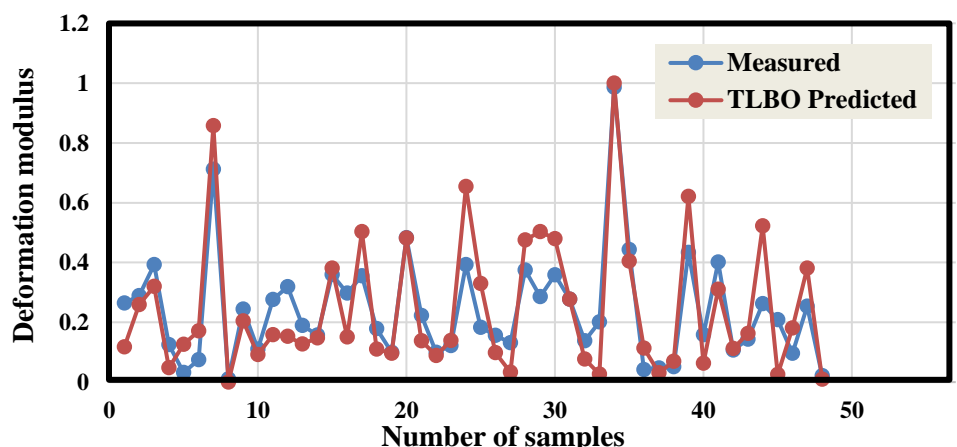
(الف)



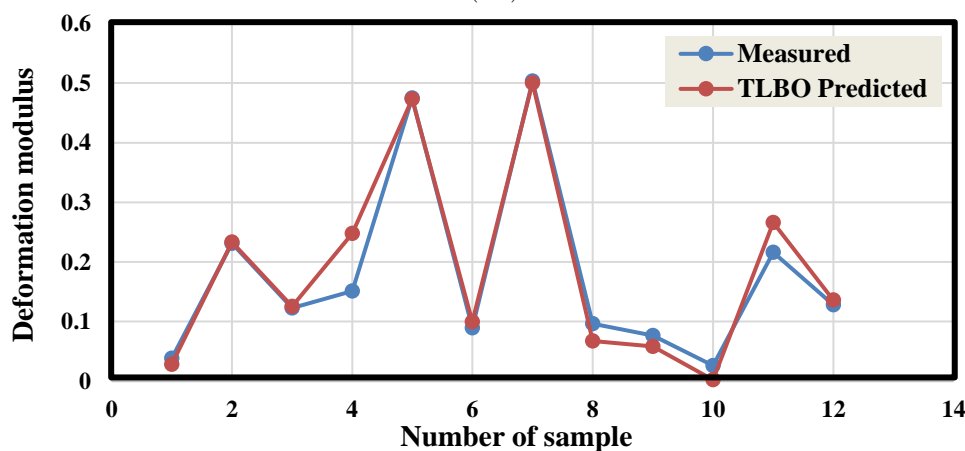
(ب)

شکل ۹ مقایسه بین مدول تغییرشکل اندازه‌گیری‌شده و پیش‌بینی شده:

الف) داده‌های آموزش توسط الگوریتم HS، ب) داده‌های آزمون توسط الگوریتم HS



(الف)



(ب)

شکل ۱۰ مقایسه بین مدول تغییر شکل اندازه‌گیری شده و پیش‌بینی شده: (الف) داده‌های آموزش توسط الگوریتم TLBO

(ب) داده‌های آزمون توسط الگوریتم TLBO

نتیجه‌گیری

روابط پیش‌بینی با دقت بالا استفاده شد. به منظور اعتبارسنجی روابط به‌دست‌آمده، از شاخص‌های ضریب همبستگی مربع (R^2)، شمول واریانس (VAF)، جذر میانگین خطای مربع (RMSE) و میانگین خطای مربع (MSE) برای هر یک از الگوریتم‌ها برای دو مجموعه داده آموزش (۴۸ داده) و مجموعه داده آزمون (۱۲ داده) استفاده شد. مطابق با مقادیر به‌دست‌آمده، مشخص شد که دقت روش‌های هوشمند با استفاده از الگوریتم جستجوی هارمونی ۰/۹۳-۰/۹۱ و میزان خطای آن ۰/۰۰۴۲-۰/۰۰۰۰۱۷ به‌دست آمد. همچنین میزان دقت الگوریتم بهینه‌سازی مبتنی بر آموزش و یادگیری ۰/۹۵-۰/۹۲ و خطای آن ۰/۰۰۳۲-۰/۰۰۰۰۱۰ محاسبه شده است. روابط حاصل شده به دلیل پایین بودن خطا و نزدیک بودن به مقدار اندازه‌گیری شده می‌توان به عنوان روابط مناسب برای تخمین مدول

پارامتر مدول تغییر شکل‌پذیری توده سنگ به عنوان مهم‌ترین خصوصیت ژئومکانیکی توده سنگ در طراحی انواع سازه‌های سنگی می‌باشد. این پارامتر توسط آزمایش‌های برجا نظیر آزمایش دیلاتومتری بارگذاری شعاعی، آزمایش جک صفحه‌ای و انواع آزمایش‌های دیگر قابل اندازه‌گیری می‌باشد. آزمایش‌های برجا به علت شرایط غیرقابل پیش‌بینی سازند، هزینه بالا، مشکلات عملیاتی و زمان‌بر بودن، در اجرا با مشکل مواجه می‌شوند. به همین علت بسته به نوع و اهمیت پروژه و یا در محل ابتدایی مطالعات پروژه‌های مهم، می‌توان از روش‌های غیرمستقیم به منظور تخمین مدول تغییر شکل‌پذیری با استفاده از پارامترهای ژئوتکنیکی توده سنگ استفاده کرد. در این مقاله از الگوریتم‌های بهینه‌سازی HS و TLBO برای به‌دست آوردن

تغییر شکل پذیری توده سنگ استفاده کرد. همچنین با توجه به
 نتایج به دست آمده از این مقاله می توان دریافت که الگوریتم های
 بهینه سازی HS و TLBO توانایی بالایی برای حل مسائل
 مهندسی سازه های سنگی سطحی و زیرزمینی در سایر
 موضوعات دارند.

مراجع

1. Bieniawski, Z., "Engineering classification of jointed rock masses". *Civil Engineer in South Africa*, Vol. 15, No. 12, (1973).
2. Serafim, J. Consideration of the geomechanical classification of Bieniawski. in Proc. int. symp. on engineering geology and underground construction. (1983).
3. Verman, M., et al., "Effect of tunnel depth on modulus of deformation of rock mass". *Rock mechanics and rock engineering*, Vol. 30, No. 3, pp. 121-127, (1997).
4. Nicholson, G. and Bieniawski, Z., "A nonlinear deformation modulus based on rock mass classification". *International journal of Mining and geological engineering*, Vol. 8, No. 3, pp. 181-202, (1990).
5. Mehrotra, V., "Estimation of engineering parameters of rock mass". *University of Roorkee*, Vol., (1992).
6. Diederichs, M. and Kaiser, P., "Stability of large excavations in laminated hard rock masses: the voussoir analogue revisited". *International Journal of Rock Mechanics and Mining Sciences*, Vol. 36, No. 1, pp. 97-117, (1999).
7. Read, S., Perrin, N., and Richards, L. Applicability of the Hoek-Brown failure criterion to New Zealand greywacke rocks. in 9th ISRM Congress. *International Society for Rock Mechanics and Rock Engineering*. (1999).
8. Kim, G.-W. Revaluation of geomechanics classifications of rock masses. in Proceedings of the Korean geotechnical society of spring national conference, Seoul. (1993).
9. Mitri, H., Edrissi, R., and Henning, J., "Finite-element modeling of cable-bolted stopes in hard-rock underground mines". *Transactions-Society For Mining Metallurgy And Exploration Incorporated*, Vol. 298, No. pp. 1897-1902, (1995).
10. Grimstad, E. Updating the Q-system for NMT. in Proceedings of the International Symposium on Sprayed Concrete-Modern use of wet mix sprayed concrete for underground support, Fagernes, Oslo, *Norwegian Concrete Association*, (1993).
11. Barton, N., "Some new Q-value correlations to assist in site characterisation and tunnel design". *International journal of rock mechanics and mining sciences*, Vol. 39, No. 2, pp. 185-216, (2002).
12. Hoek, E. and Brown, E.T., "Practical estimates of rock mass strength". *International journal of rock mechanics and mining sciences*, Vol. 34, No. 8, pp. 1165-1186, (1997).
13. Hoek, E., Carranza-Torres, C., and Corkum, B., "Hoek-Brown failure criterion-2002 edition".

- Proceedings of NARMS-Tac*, Vol. 1, No. 1, pp. 267-273, (2002).
14. Hoek, E. and Diederichs, M.S., "Empirical estimation of rock mass modulus". *International journal of rock mechanics and mining sciences*, Vol. 43, No. 2, pp. 203-215, (2006).
 15. Zhang, L. and Einstein, H., "Using RQD to estimate the deformation modulus of rock masses". *International Journal of Rock Mechanics and Mining Sciences*, Vol. 41, No. 2, pp. 337-341, (2004).
 16. Deere, D.U., Coon, R.F., and Merritt, A.H., *Engineering classification of in-situ rock*. 1969, Illinois Univ at Urbana Dept of Civil Engineering.
 17. Jose, M., Galeral, M., and Alvarez, T., "Bieniawski evaluation of the deformation modulus of rock masses: comparison of pressuremeter and dilatometer tests with RMR prediction". *ISP5-PRESSIO International Symposium*, Vol., (2005).
 18. Sonmez, H., Gokceoglu, C., and Ulusay, R., "Indirect determination of the modulus of deformation of rock masses based on the GSI system". *International journal of rock mechanics and mining sciences*, Vol. 41, No. 5, pp. 849-857, (2004).
 19. Gardner, W.S. Design of drilled piers in the Atlantic Piedmont. in *Foundations and excavations in decomposed rock of the Piedmont Province*. ASCE. (1987).
 20. Zhang, L. and Einstein, H., "Using RQD to estimate the deformation modulus of rock masses". *International journal of rock mechanics and mining sciences* (1997), Vol. 41, No. 2, pp. 337-341, (2004).
 21. Palmström, A. and Singh, R., "The deformation modulus of rock masses—comparisons between in situ tests and indirect estimates". *Tunnelling and Underground Space Technology*, Vol. 16, No. 2, pp. 115-131, (2001).
 22. Gokceoglu, C., Sonmez, H., and Kayabasi, A., "Predicting the deformation moduli of rock masses". *International Journal of Rock Mechanics and Mining Sciences*, Vol. 40, No. 5, pp. 701-710, (2003).
 23. Kayabasi, A., Gokceoglu, C., and Ercanoglu, M., "Estimating the deformation modulus of rock masses: a comparative study". *International Journal of Rock Mechanics and Mining Sciences*, Vol. 40, No. 1, pp. 55-63, (2003).
 24. Galera, M., Alvarez, M., and Bienawski, Z., "Evaluation of the deformation modulus of rock masses. Comparison by pressuremeter and dilatometer test". *ISP5-PRESSIO 2005*, Vol. 2, No. pp. 239-256, (2005).
 25. Chun, B.-S., et al., "Indirect estimation of the rock deformation modulus based on polynomial and multiple regression analyses of the RMR system". *International Journal of Rock Mechanics and Mining Sciences*, Vol. 46, No. 3, pp. 649-658, (2009).
 26. Nejati, H.R., et al., "On the use of the RMR system for estimation of rock mass deformation modulus". *Bulletin of engineering geology and the environment*, Vol. 73, No. 2, pp. 531-540, (2014).
 27. Geem, Z.W., Kim, J.H., and Loganathan, G.V., "A new heuristic optimization algorithm: harmony search". *simulation*, Vol. 76, No. 2, pp. 60-68, (2001).

28. Lee, K.S. and Geem, Z.W., "A new meta-heuristic algorithm for continuous engineering optimization: harmony search theory and practice". *Computer methods in applied mechanics and engineering*, Vol. 194, No. 36-38, pp. 3902-3933, (2005).
29. Geem, Z.W., Global optimization using harmony search: Theoretical foundations and applications, in *Foundations of Computational Intelligence Volume 3*. 2009, Springer. p. 57-73.
30. Moh'd Alia, O. and Mandava, R., "The variants of the harmony search algorithm: an overview". *Artificial Intelligence Review*, Vol. 36, No. 1, pp. 49-68, (2011).
31. Yuan, X., et al., "Hybrid parallel chaos optimization algorithm with harmony search algorithm". *Applied Soft Computing*, Vol. 17, No. pp. 12-22, (2014).
32. Jaberipour, M. and Khorram, E., "Two improved harmony search algorithms for solving engineering optimization problems". *Communications in Nonlinear Science and Numerical Simulation*, Vol. 15, No. 11, pp. 3316-3331, (2010).
33. Rao, R.V., Savsani, V.J., and Vakharia, D., "Teaching-learning-based optimization: an optimization method for continuous non-linear large scale problems". *Information sciences*, Vol. 183, No. 1, pp. 1-15, (2012).

